

**ВЛИЯНИЕ РАДИАЦИИ  
НА ФОТОЭЛЕКТРИЧЕСКИЕ ПАРАМЕТРЫ  
 $Al\text{GaAs}-(p-n)\text{-GaAs}$ -ГЕТЕРОСТРУКТУР**

Андреев В. М., Гусинский Г. М., Калиновский В. С.,  
Салиева О. К., Соловьев В. А., Сулима О. В., Хаммедов А. М.

Приводятся результаты исследований радиационной деградации фотоэлектрических параметров  $Al\text{GaAs}$ -гетероструктур при облучении протонами с энергией 6.7 МэВ. Определены значения коэффициента повреждения длины диффузионного смещения дырок в  $n\text{-GaAs}$ , составившие  $\sim 2 \cdot 10^{-4}$ . Показано, что повышенная радиационная стойкость обеспечивается в структурах с толщиной фотоактивного слоя  $p\text{-GaAs}$  в диапазоне  $0.3 \div 1.0$  мкм, а также при пропускании в процессе облучения через структуру прямого тока.

На эксплуатационные характеристики солнечных элементов космического назначения с антирадиационными покрытиями существенное влияние оказывает облучение частицами высоких энергий [1]. Солнечные элементы на основе  $Al\text{GaAs}$ -гетероструктур представляют значительный интерес с точки зрения повышения радиационной стойкости солнечных батарей [2-4].

Выполненные ранее исследования влияния радиации на фотоэлектрические параметры гетероструктур типа  $p\text{-AlGaAs}-p\text{-GaAs}-n\text{-GaAs}$  позволили обнаружить увеличение радиационной стойкости при уменьшении толщины слоя  $p\text{-GaAs}$  в случае облучения электронами с энергией  $E=1$  МэВ [5] и протонами с  $E=52$  МэВ [3].

В настоящей работе выполнены исследования влияния параметров фотоактивной области и способа получения гетероструктур  $p\text{-Al}_x\text{Ga}_{1-x}\text{As}-p\text{-GaAs}-n\text{-GaAs}$  на темп их радиационной деградации при облучении протонами. Экспериментальные образцы различались способом получения и параметрами как  $n$ -, так и  $p$ -областей вблизи  $p-n$ -перехода.

Фотоактивная  $n$ -область [ $n=(1 \div 3) \cdot 10^{17}$  см $^{-3}$ ] формировалась двумя способами: а) эпитаксиальным выращиванием  $n\text{-GaAs}$  из жидкой фазы, б) предварительным термическим отжигом (выполненным в отдельном технологическом процессе) под расплавом галлия с алюминием подложек арсенида галлия, полученных методом Чохральского.

Область  $p\text{-GaAs}$  формировалась также двумя способами: а) диффузией цинка из раствора-расплава в процессе эпитаксиального выращивания слоя твердого раствора [6], б) диффузией цинка из газовой фазы в предварительно выращенную из жидкой фазы изотипную гетероструктуру  $n\text{-GaAs}-n\text{-Al}_x\text{Ga}_{1-x}\text{As}$  [6]. Второй способ позволяет получать максимально высокие значения концентрации дырок ( $p > 10^{19}$  см $^{-3}$ ) и создавать в  $p\text{-GaAs}$  сильное встроенное электрическое поле градиента концентрации акцепторов.

Толщина  $d_p$  слоя  $p\text{-GaAs}$  варьировалась в диапазоне 0.3–2.1 мкм. При этом величина встроенного электрического поля изменялась от 0.5 кВ/см при  $d_p = 2.0$  мкм до 4 кВ/см при  $d_p = 0.3$  мкм. Толщина слоя широкозонного окна  $p\text{-Al}_x\text{Ga}_{1-x}\text{As}$  ( $x=0.8 \div 0.85$ ) составляла в исследованных образцах 1.5–3.0 мкм.

Облучение образцов осуществлялось потоками протонов ( $E=6.7$  МэВ) дозой  $\Phi$  от  $3 \cdot 10^{10}$  до  $4 \cdot 10^{12}$  см $^{-2}$ . Исследовано влияние дозы облучения на основные фотоэлектрические параметры — спектральные характеристики foto-

ответа, величину интегрального фототока и напряжения холостого хода при облучении имитатором солнечного излучения АМО, а также на величину коэффициента повреждения ( $K_L$ ) длины диффузационного смещения дырок ( $L_p$ ) в слое  $n$ -GaAs.

Коэффициент повреждения  $L_p$  при облучении определяется следующим выражением:

$$K_L = \frac{1/L_{p\Phi}^2 - 1/L_{p0}^2}{\Phi},$$

где  $L_{p0}$  —  $L_p$  до облучения, а  $L_{p\Phi}$  — после облучения. На рис. 1 изображены зависимости  $L_p$  ( $\Phi$ ) и  $K_L$  ( $\Phi$ ), полученные в данной работе как для эпитаксиального, так и для термоотожженного  $n$ -GaAs. Из приведенных на рис. 1 экспе-

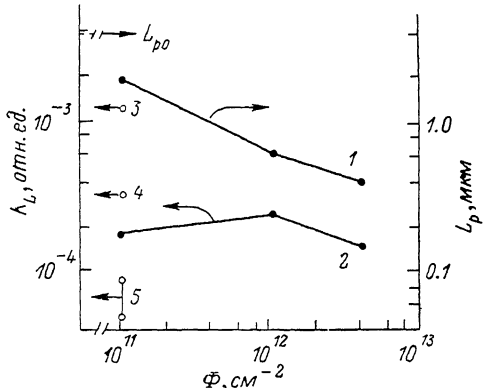


Рис. 1. Зависимости длины диффузационного смещения дырок ( $L_p$ ) в  $n$ -GaAs (1) и коэффициента повреждения  $K_L$  (2) в  $n$ -GaAs от дозы облучения ( $E=6.7$  МэВ).

3—5 — коэффициенты повреждения  $K_L$  в  $p$ -GaAs при различных значениях энергии протонов  $E=0.5, 1, 2$  МэВ соответственно, взятые из [4].

риментальных значений  $K_L$  в  $p$ -GaAs, полученных в работе [4] при облучении протонами с  $E=0.5$  и 2 МэВ, следует, что значения  $K_L$  для  $p$ -GaAs уменьшаются с ростом  $E$ . Можно предположить, что такая же зависимость существует и для  $n$ -GaAs. В этом случае при облучении протонами высоких энергий значения  $K_L$  для  $n$ -GaAs являются большими, чем для  $p$ -GaAs при равных значениях  $E$ . Аналогичное соотношение наблюдается для GaAs, облученного электронами [5] и  $\gamma$ -лучами [4].

Из рис. 1 следует, что коэффициент  $K_L$  в GaAs является функцией дозы облучения  $\Phi$ . При этом наибольший рост  $K_L$  наблюдается в диапазоне  $\Phi=10^{11} \div 10^{12} \text{ см}^{-2}$ . Из этого можно сделать вывод, что в диапазоне  $\Phi=10^{11} \div 10^{12} \text{ см}^{-2}$  формируется основное число дефектов в  $n$ -GaAs, приводящих к уменьшению величины  $L_p$ .

Из-за отмеченного уменьшения  $L_p$  с ростом дозы облучения происходит снижение фототока ( $I_\Phi$ ). Исходные значения фототока составляли  $I_\Phi = 27 \div 30 \text{ mA/cm}^2$  (АМО). Очевидно, что на ход зависимости  $I_\Phi (\Phi)$  сильное влияние оказывает соотношение значений  $L_p$  и глубины залегания  $p-n$ -перехода. Из рис. 2 следует, что зависимости  $I_\Phi/I_{\Phi 0}$  от толщины слоя  $p$ -GaAs ( $d_p$ ) можно условно разделить на два участка: участок I с  $d_p \leq 1 \text{ мкм}$ , где наблюдается относительное постоянство  $I_\Phi/I_{\Phi 0}$ , и участок II с  $d_p > 1 \text{ мкм}$  с более существенным уменьшением фототока относительно его максимального значения для данного  $\Phi$ , причем различия в ходе зависимости  $I_\Phi (d_p)$  на двух участках усиливаются с ростом  $\Phi$ .

Объяснение полученных зависимостей может быть найдено из анализа спектров фотоответа гетероструктур с различной толщиной  $p$ -GaAs. При  $d_p =$

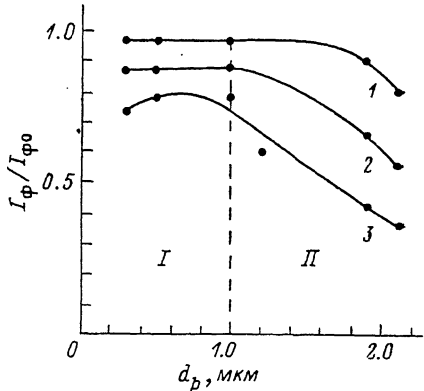


Рис. 2. Зависимость относительного изменения фототока при освещении имитатором АМО от толщины  $p$ -GaAs ( $d_p$ ) при различных дозах облучения.

$\Phi, \text{см}^{-2}$ : 1 —  $1 \cdot 10^{11}$ , 2 —  $1 \cdot 10^{12}$ , 3 —  $3 \cdot 10^{12}$ .

$=0.5$  мкм (рис. 3, а) снижение фотоответа с увеличением дозы облучения наблюдается только в длинноволновой части спектра. Относительная «стабильность» спектров при  $\lambda < 0.7$  мкм объясняется тем, что поглощение коротковолнового излучения, прошедшего через широкозонный слой, происходит в основном в слое *p*-GaAs, собирание носителей тока из которого происходит с меньшими потерями, чем из *n*-GaAs, поскольку: а) коэффициент повреждения  $L_n$  в *p*-области меньше коэффициента повреждения  $L_p$  в *n*-области; б) снижение  $L_n$  оказывает меньшее влияние на эффективность собирания носителей тока из *p*-области, так как фотоносители в *p*-области в отличие от *n*-области могут

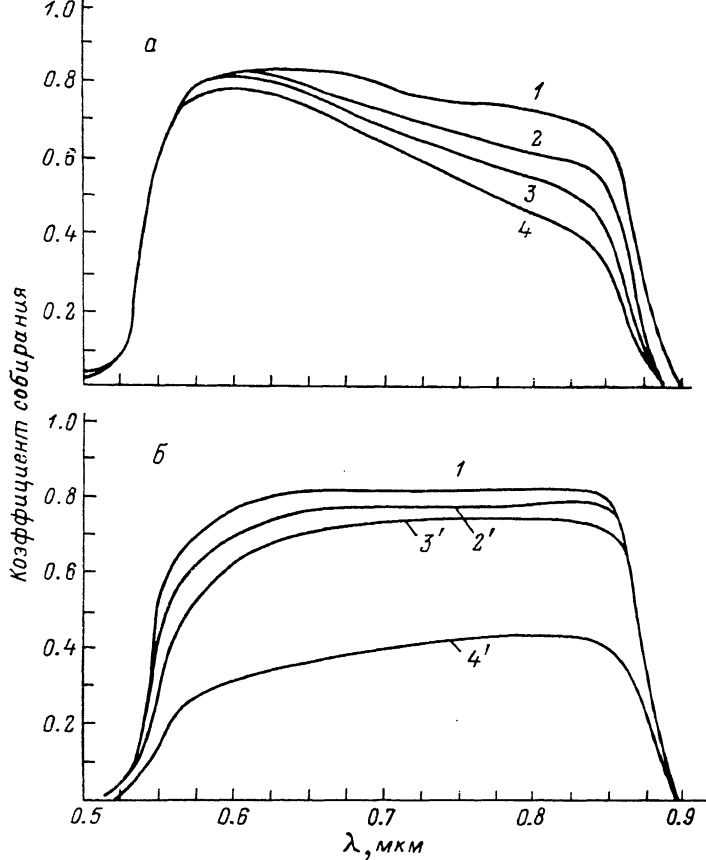


Рис. 3. Спектральное распределение фоточувствительности для двух структур с различной толщиной ( $d_p$ ) слоя *p*-GaAs.

$d_p$ , мкм: а — 0.5, б — 2.1; без облучения (1) и при дозах облучения, см $^{-2}$ : 2 —  $1 \cdot 10^{11}$ , 3 —  $1 \cdot 10^{12}$ , 4 —  $4 \cdot 10^{12}$ , 2' —  $3 \cdot 10^{10}$ , 3' —  $1 \cdot 10^{11}$ , 4' —  $3 \cdot 10^{12}$ .

диффундировать только к *p*—*n*-переходу благодаря наличию потенциального барьера *p*—*p*-гетероперехода; в) в *p*-области имеется «тянущее» электрическое поле.

На спектральный диапазон с  $\lambda < 0.7$  мкм приходится значительная часть заатмосферного солнечного излучения (АМО). Поэтому «стабильность» спектров фотоответа структур с  $d_p < 1$  мкм (рис. 3, а) при  $\lambda < 0.7$  мкм и обеспечивает их высокую радиационную стойкость.

Увеличение толщины *p*-GaAs приводит к падению фоточувствительности облученных фотоэлементов во всем спектральном диапазоне (рис. 3, б), что связано с увеличением расстояния от области генерации фотоносителей до *p*—*n*-перехода, снижением величины тянувшего электрического поля и увеличением вследствие этого потерь носителей на объемную рекомбинацию при радиационном повреждении  $L_n$ .

Вследствие слабого влияния облучения на коротковолновую фоточувствительность образцов с  $d_p < 1$  мкм лучшей радиационной стабильностью фото-

тока обладают фотоэлементы на основе структур с меньшей толщиной широкозонного слоя  $\text{Al}_x\text{Ga}_{1-x}\text{As}$ , имеющие лучшую чувствительность в коротковолновой области спектра.

В работе [7] было показано, что при инжекции неосновных носителей в облученных электронами ( $E=1$  МэВ) фотоэлементах снижается концентрация радиационных дефектов. Аналогичная инжекция осуществлялась нами при пропускании прямого тока непосредственно в процессе облучения. Как видно из рис. 4 (кривые 3, 4), пропускание тока  $1 \text{ A}/\text{cm}^2$  в течение 30–60 мин (300 К) обеспечивает 2–3-кратное увеличение дозы, приводящей к эквивалентной деградации фототока, что свидетельствует об инжеционном отжиге радиационных дефектов.

В работе исследовано также влияние облучения на величину напряжения холостого хода на структурах, различающихся способом получения  $n$ -GaAs:

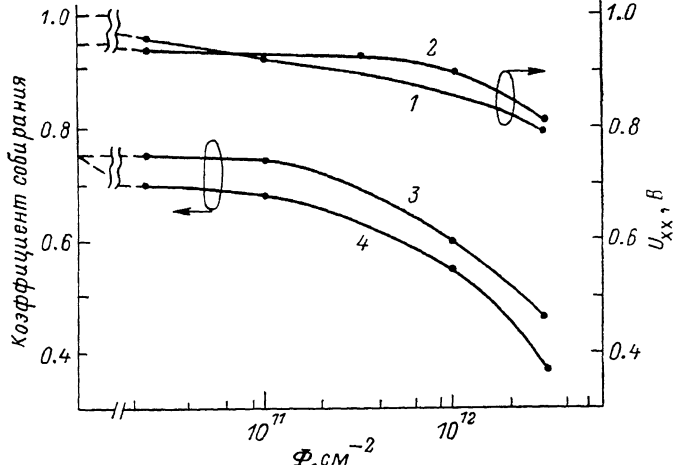


Рис. 4. Зависимость напряжения холостого хода от дозы облучения для структур с эпитаксиальным (1) и термоотожженным (2)  $n$ -GaAs; зависимость коэффициента собирания от дозы облучения при пропускании тока  $j=1 \text{ A}/\text{cm}^2$  (3) и без тока (4).

эпитаксиальным выращиванием  $n$ -GaAs из жидкой фазы (рис. 4, кривая 1) и высокотемпературным термоотжигом подложек  $n$ -GaAs (рис. 4, кривая 2). Сравнение приведенных на рис. 4 кривых показывает, что при меньших исходных значениях  $U_{xx}$  (1 В для кривой 1 и 0.95 В для кривой 2) структуры с  $n$ -областью, полученной термоотжигом подложек, обладают лучшей стабильностью напряжения холостого хода, что обеспечило получение в этих образцах более высоких абсолютных значений  $U_{xx}$  при дозах  $\Phi > 10^{11} \text{ см}^{-2}$ .

На основании изложенного можно сделать следующие выводы.

1. Коэффициенты радиационного повреждения длины диффузационного смещения дырок в  $n$ -GaAs составляют  $K_L \approx 2 \cdot 10^{-4}$  при облучении  $n$ -GaAs протонами с  $E=6.7$  МэВ, что превышает значения  $K_L$  в  $p$ -GaAs, облученном протонами с  $E \geq 2$  МэВ.

2. Минимальная радиационная деградация фототока в исследованных структурах обеспечивается при толщине слоя  $p$ -GaAs в диапазоне 0.3–1.0 мкм за счет получения высокой стабильности фотоответа в коротковолновой части спектра.

3. Пропускание прямого тока через структуру в процессе облучения снижает темп радиационной деградации. При этом доза, приводящая к эквивалентной деградации фототока, увеличивается в 2–3 раза при  $j \approx 1 \text{ A}/\text{cm}^2$ .

В заключение авторы выражают признательность М. Б. Кагану, Т. А. Нулер, Г. М. Григорьевой за полезные обсуждения, В. Д. Румянцеву, А. В. Никитину и Л. А. Рассадину за помощь в эксперименте, Ж. И. Алфёрову и В. О. Найденову за внимание к данной работе.

## Л и т е р а т у р а

- [1] Крейнин Л. Б., Григорьева Г. М. Итоги науки и техники. Серия «Исследование космического пространства», т. 13. Солнечные батареи в условиях воздействия космической радиации. М., 1979. 126 с.
- [2] Григорьева Г. М., Звягина К. Н., Каган М. Б., Любашевская Т. Л. — Гелиотехника, 1983, № 5, с. 14—17.
- [3] Yoshida S., Mitsui K., Oda T., Yukimoto Y. — Japan. J. Appl. Phys., 1982, v. 21 (Suppl.), N 21-2, p. 27—31.
- [4] Yamaguchi M., Yamamoto A., Shibukawa A. — Japan. J. Appl. Phys., 1983, v. 22, N 11, p. 1727—1733.
- [5] Yamaguchi M., Amano C. — J. Appl. Phys., 1985, v. 57, N 2, p. 537—544.
- [6] Андреев В. М., Сулима О. В. — Письма ЖТФ, 1982, т. 8, в. 7, с. 429—432.
- [7] Sfievenard D., Bourgoin J. C. — In: 17 IEEE Photovoltaic Spec. Conf. Kissimmee, 1984, p. 1103—1107.

Физико-технический институт  
им. А. Ф. Иоффе АН СССР  
Ленинград

Получена 25.09.1987  
Принята к печати 5.02.1988